The background is a photograph of an industrial setting, likely a metalworking shop. It shows a large, glowing orange and yellow light source, possibly a furnace or a welding process, with bright sparks and molten metal visible. The scene is framed by dark, industrial structures. Overlaid on this background is a large, multi-pointed starburst shape. The starburst has a yellow-to-orange gradient in the center, fading to a light pink at the edges. It has a thin black outline. The text "2023 - 2024" is centered within this starburst.

2023 - 2024

PŘEHLED POUŽITÝCH NABÍJEČÍCH AKUMULÁTORŮ Li-ION

č.b.	název	typ	kapacita Ah	vybití A	nabití A	skupina
1	LG INR 18650-MH1	Li-ion	3,2	0,5/10	3	NMC
2	Samsung ICR 26J	Li-ion	2,6	MAX 5	1,3	LCO
3	APR 18650M1A	LiFePO4	1,1	60 MAX	5	LFP
4	Sony US 18650-VTC 5A	Li-ion	2,6	35	2,5	NCA
5	BAK N18650CP	Li-ion	3,35	6,5	1,5	NMC
6	Molicel INR 18650-M35A	Li-ion	3,5	10	1,3	NMC
7	Samsung INR 18650-20R	Li-ion	2	20	1,25	LCO
8	HTR 18650-11LFP Hetler flp18650 - 11	LiFePO4	1,1	30CMAX	5	LFP
9	Panasonic NCR 18650-GA	Li-ion	3,5	10	1,5	NCA
10	Samsung INR 18650-35E	Li-ion	3,4	8 nebo 13	2	NCA
11	DRPW1865-15LFP Drypower, FR1865EC	LiFePO4	1,5	3CMAX	2	LFP
12	Samsung INR 18650-13Q	Li-ion	1,3	15	4	NCA
13	EVE 186526V EVE INR18650 - 26 V	Li-ion	2,6	8	0,5	NMC
14	LG 1865-M29 INR18650 - M29	Li-ion	2,9	10	1,5	NMC
15	Sony US18650-VTC6	Li-ion	3,1	30	3	NCA
16	LSN1865-30E Lishen INR 18650-30E	Li-ion	2,9	6	0,5C	NCA

Výbuchu-odolná zkušební komora EPC-010 z levého boku



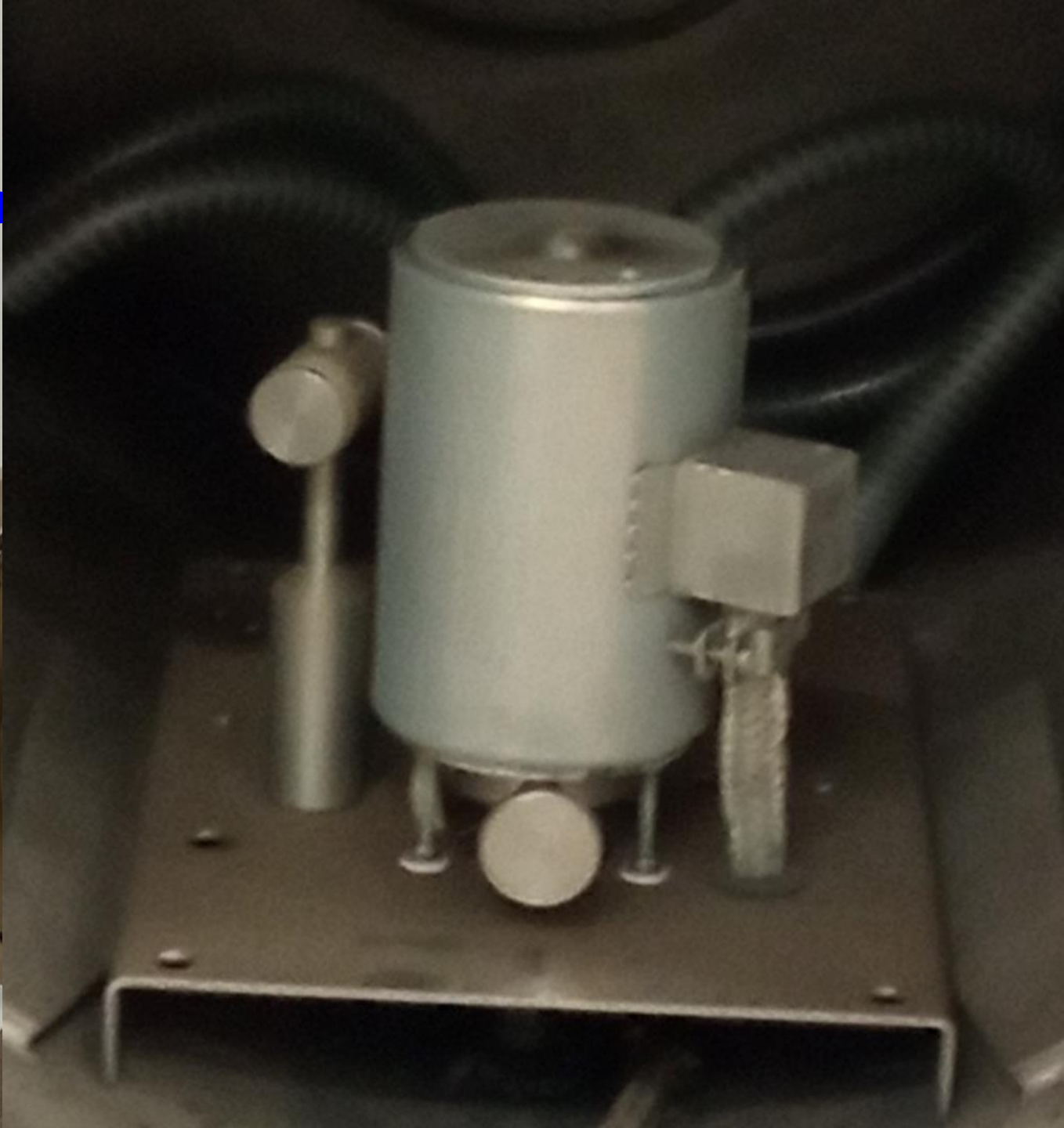
OZM OZM s.r.o.
Křižkova 10
250 66 Písek, Třinec
Česká republika
250 66 Písek

VÝBUCHU-ODOLNÁ ZKUSĚBNÍ KOMORA
pro kapaliny a plyny

Typ: EPC-010
Maximální objem: 10 l
Maximální tlak: 10 MPa
Maximální teplota: 200 °C
Maximální rychlost: 10 m/s
Maximální rychlost: 10 m/s



Komponen



Ochranná výbuchuodolná
zkušební komora
EPC-010

Výstupní ventil

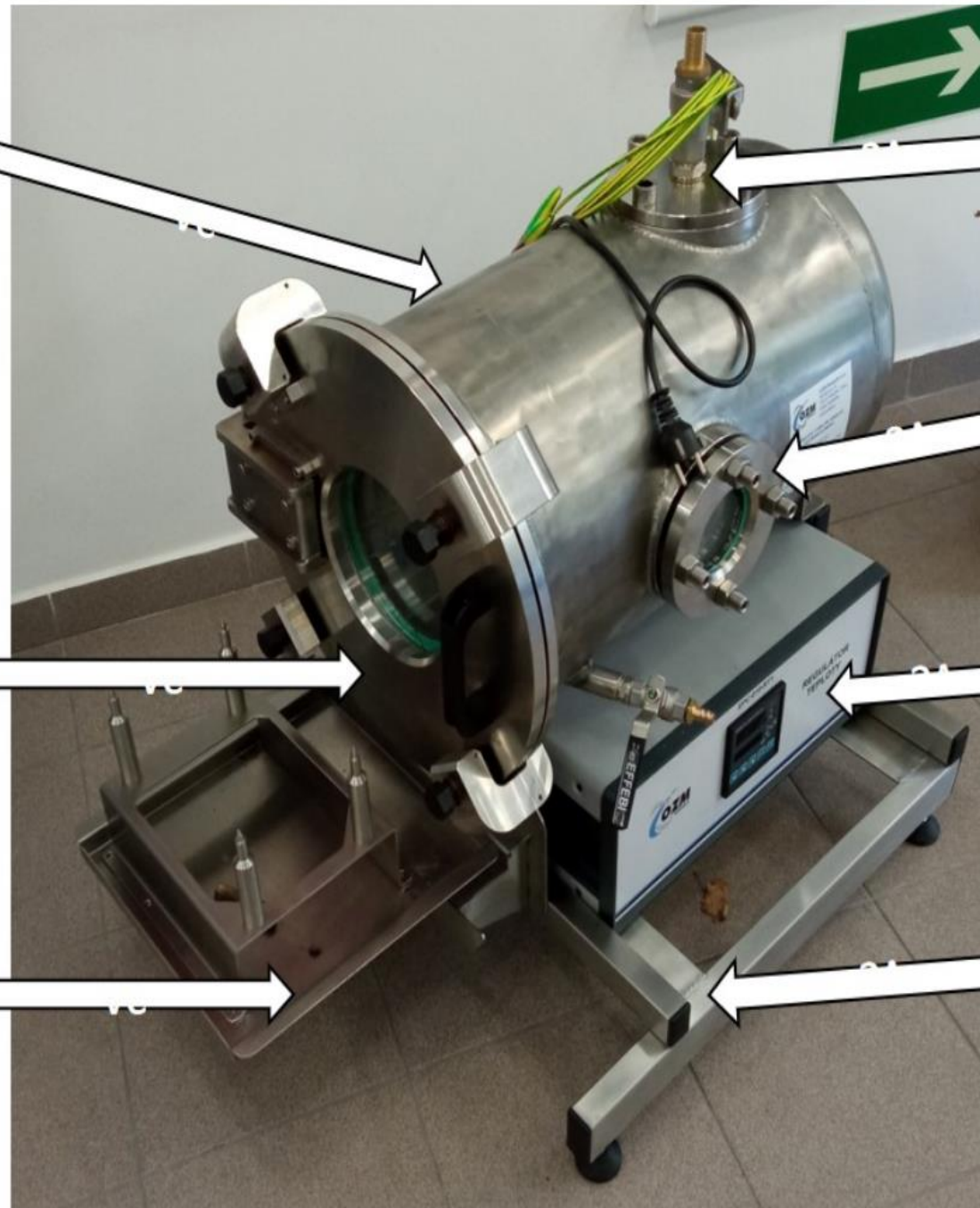
Kruhové víko komory
s průzorem

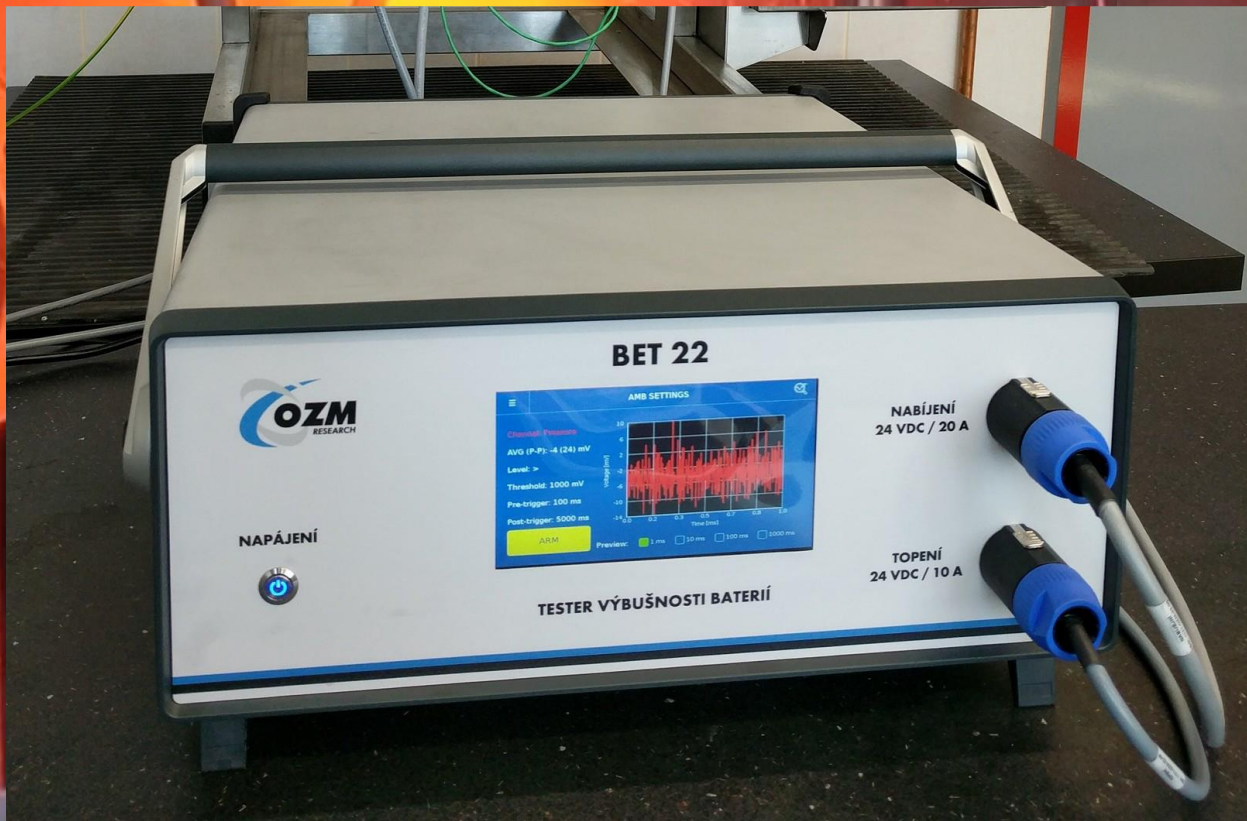
Boční průzor

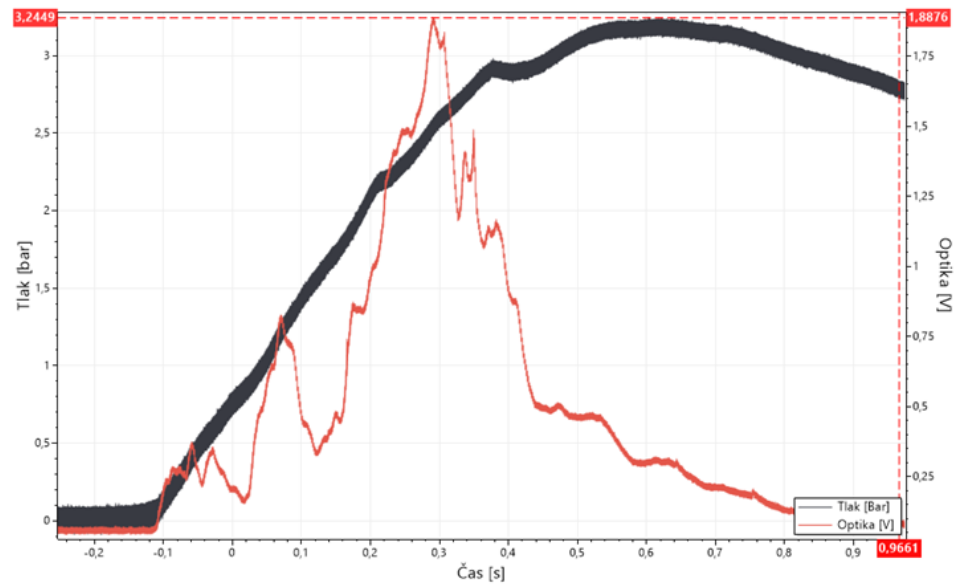
Manipulační držák
testovacích pícky

Regulátor teploty
EPC-010-RT1

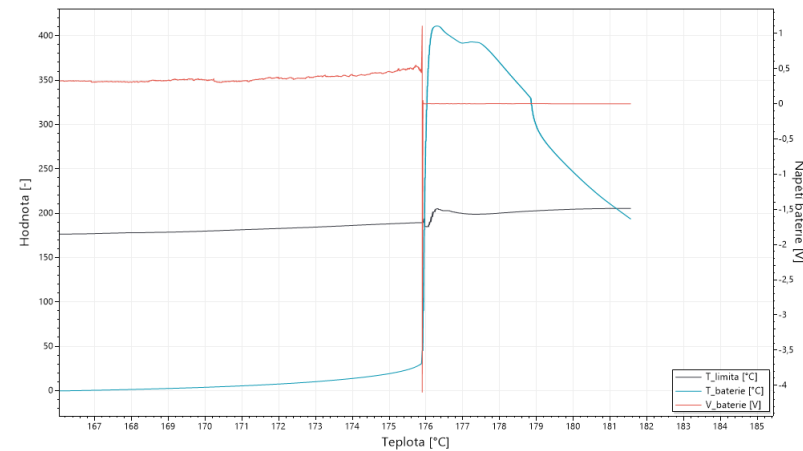
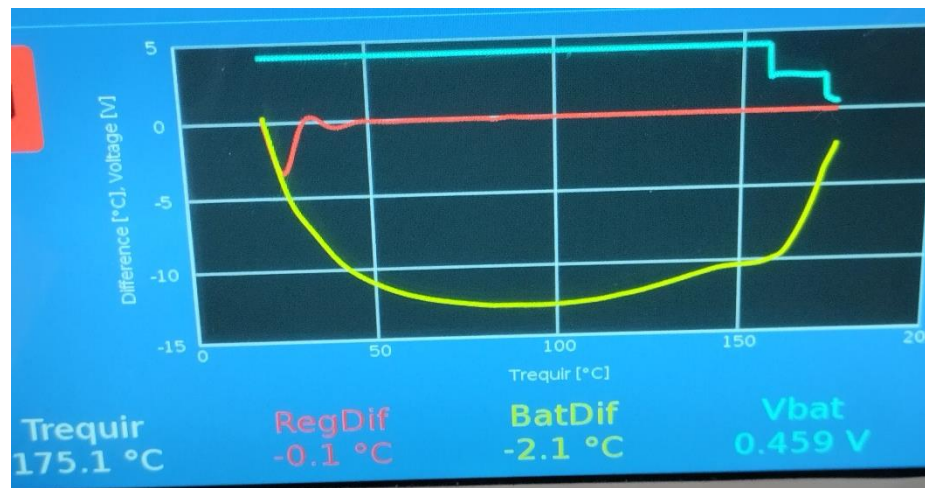
Nerezový rám





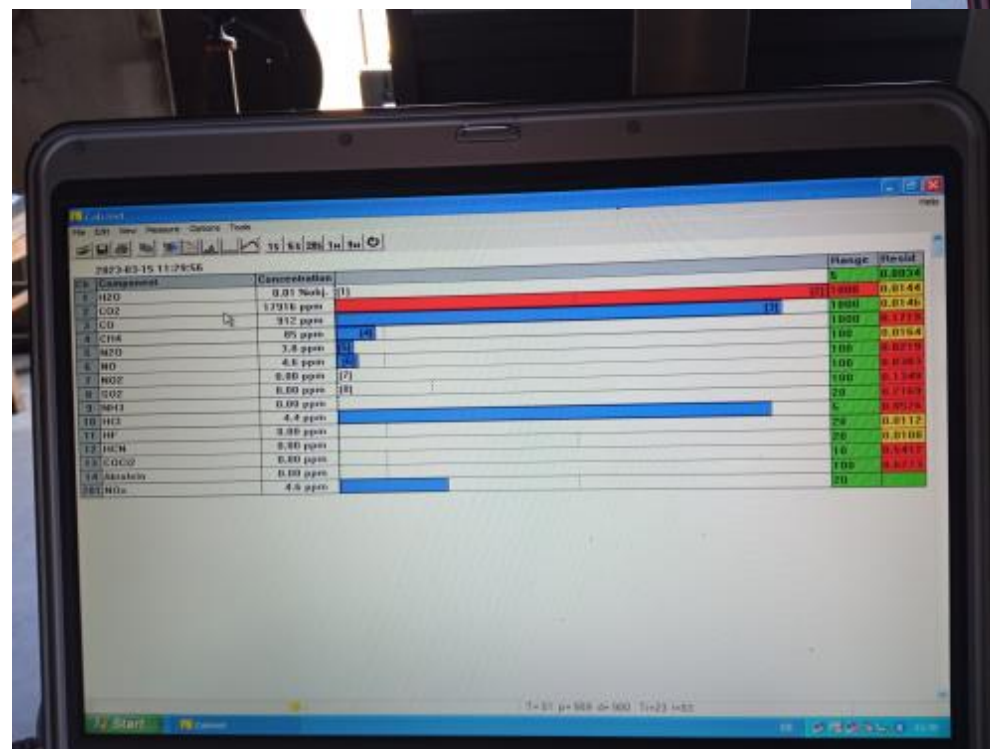
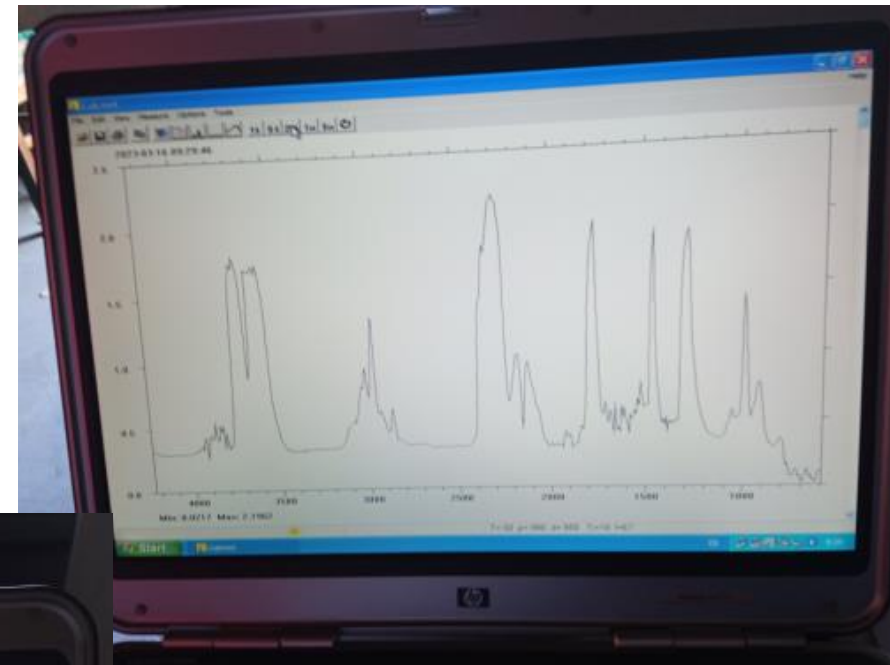


Name	Value	Name	Value
Time [s]	4800	Heat flow [W/m2]	589
SetPoint [°C]	182.0	Battery voltage [V]	0.001
Required temperature [°C]	182.0	Battery current [A]	0.000
Regulation temperature [°C]	186.1	Charging current [A]	0.000
Limiter temperature [°C]	196.6	Heater [A]	5.453
Battery temperature [°C]	624.9	Time [s]:	4161,0
Inside temperature [°C]	78.4	AMB state:	Finished
Wall temperature [°C]	24.3	Setpoint [°C]:	182,943
		Required temperature [°C]:	182,943
		Regulation temperature [°C]:	186,526
		Limiter temperature [°C]:	193,336
		Battery temperature [°C]:	589,801
		Inside temperature [°C]:	291,442
		Wall temperature [°C]:	26,945
		HF [W/m2]:	3181
		Vbattery [V]:	0,000
		Ibattery [A]:	0,000
		Icharging [A]:	0,000
		Heater [A]:	5,489





Multikomponentní plynový FTIR analyzátor Gasmet DX – 4000



Číslo baterie	1	5	6	13	14	2	7	4	9	10	12	3*	11*	8**											
Typ baterie	NMC					LCO				NCA					LFP										
Teplota při výbuchu [°C]:	173	169	168	170	178	173	173	174	168	172	196	196	178	179	170	171	174	174	171	170	199	200	> 250°C	> 250°C	
Nárůst teploty po výbuchu[°C]:	182	183	176	178	186	186	192	184	182	184	214	214	199	200	179	178	192	194	186	184	206	208	> 250°C	> 250°C	
Průměrná teplota pícky při výbuchu	172,8° C					187,25°C				180,13°C					nezměřeno automatické vypnutí při 250°C					nedo dáno					
Průměrný nárůst teploty po výbuchu	180,2°C					206,75°C				190,16°C					nezměřeno automatické vypnutí při 250°C					nedo dáno					



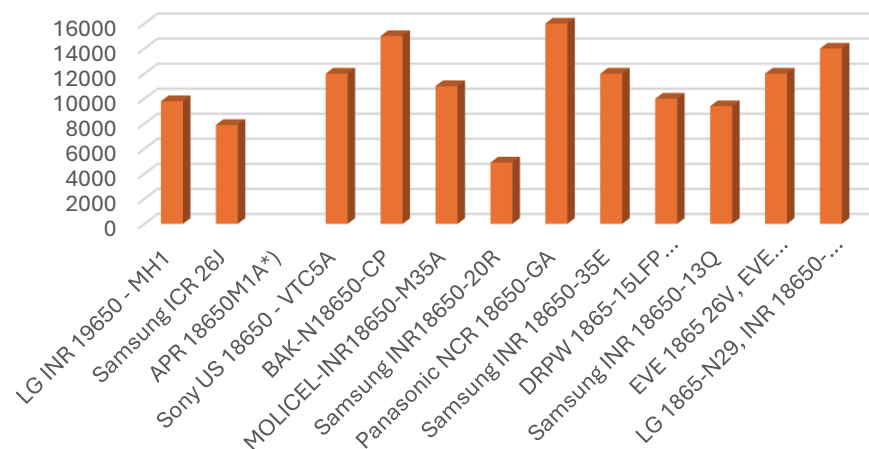




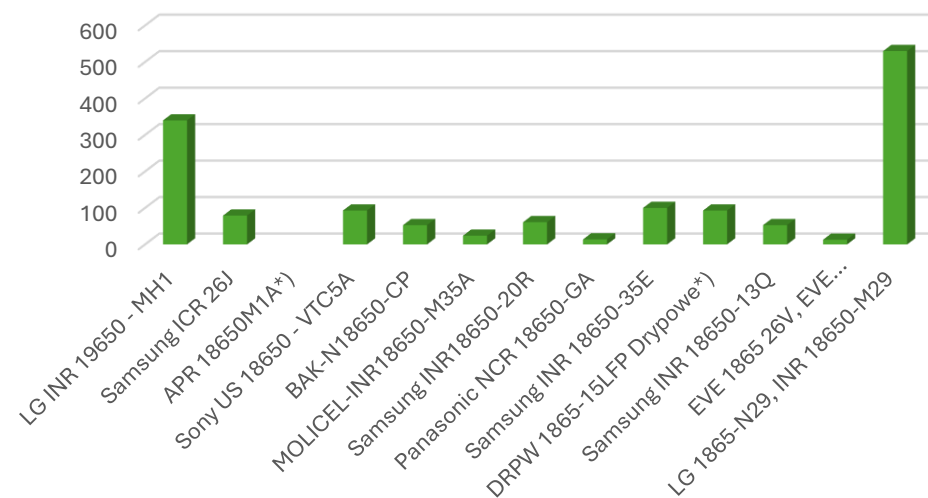
R ₂ O RH		RO RH ₂												R ₂ O ₃ RH ₃	RO ₂ RH ₄	R ₂ O ₅ RH ₃	RO ₃ H ₂ R	R ₂ O ₇ HR		
1														13	14	15	16	17	18	
I. A														III. A	IV. A	V. A	VI. A	VII. A	VIII. A	
1		2																		
H																				
2		3																		
Li		Be																		
9,01		4																		
Berylium		1,50																		
22,99		24,31																		
11		12																		
Na		Mg																		
1,00		1,20																		
Sodík		Hořčík																		
3		4																		
19		20																		
K		Ca																		
0,91		1,00																		
Draslík		Vápník																		
85,47		87,62																		
37		38																		
Rb		Sr																		
0,89		0,99																		
Rubidium		Stroncium																		
132,91		137,33																		
55		56																		
Cs		Ba																		
0,86		0,97																		
Cesium		Baryum																		
~223		226,03																		
87		88																		
Fr		Ra																		
0,86		0,97																		
Francium		Radium																		

6	Lanthanoidy	138,91 57 La <i>1,10</i> Lanthan	140,12 58 Ce <i>1,10</i> Cer	140,91 59 Pr <i>1,10</i> Praseodym	144,24 60 Nd <i>1,10</i> Neodymium	~145 61 Pm <i>1,10</i> Promethium	150,36 62 Sm <i>1,10</i> Samarium	151,96 63 Eu <i>1,00</i> Europium	157,25 64 Gd <i>1,10</i> Gadolinium	158,93 65 Tb <i>1,10</i> Terbium	162,50 66 Dy <i>1,10</i> Dysprosium	164,93 67 Ho <i>1,10</i> Holmium	167,26 68 Er <i>1,10</i> Erbium	168,93 69 Tm <i>1,10</i> Thulium	173,04 70 Yb <i>1,10</i> Ytterbium	174,04 71 Lu <i>1,10</i> Lutetium
		227,03 89 Ac <i>1,00</i> Aktinium	232,04 90 Th <i>1,10</i> Thorium	231,04 91 Pa <i>1,10</i> Protaktinium	238,03 92 U <i>1,20</i> Uran	237,05 93 Np <i>1,20</i> Neptunium	{244} 94 Pu <i>1,20</i> Plutonium	~243 95 Am <i>1,20</i> Americium	~247 96 Cm <i>1,20</i> Curium	~247 97 Bk <i>1,20</i> Berkelium	~251 98 Cf <i>1,20</i> Kalifornium	~252 99 Es <i>1,20</i> Einsteinium	~257 100 Fm <i>1,20</i> Fermium	~258 101 Md <i>1,20</i> Mendelevium	~259 102 No <i>1,20</i> Nobelium	~260 103 Lr <i>1,20</i> Lawrecium

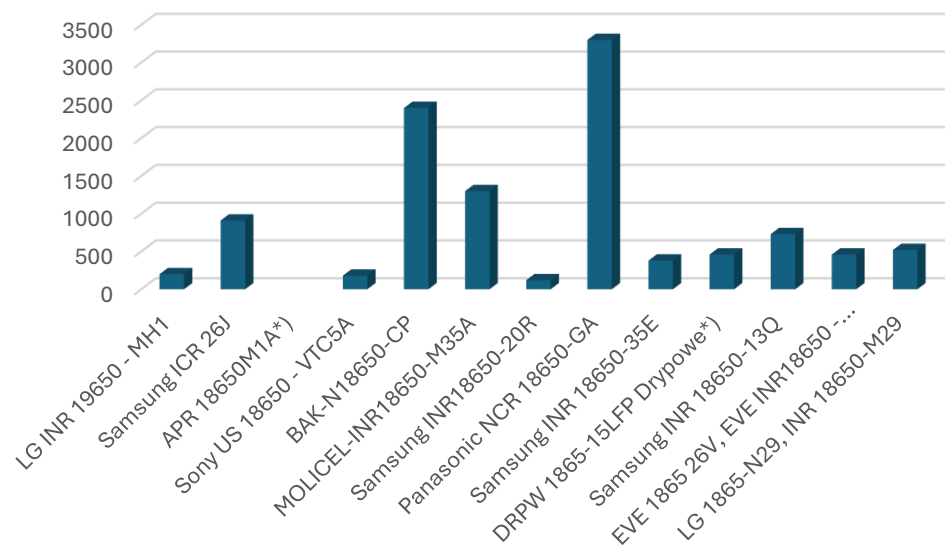
Naměřené hodnoty lithia (mg/kg) v popelu
baterie



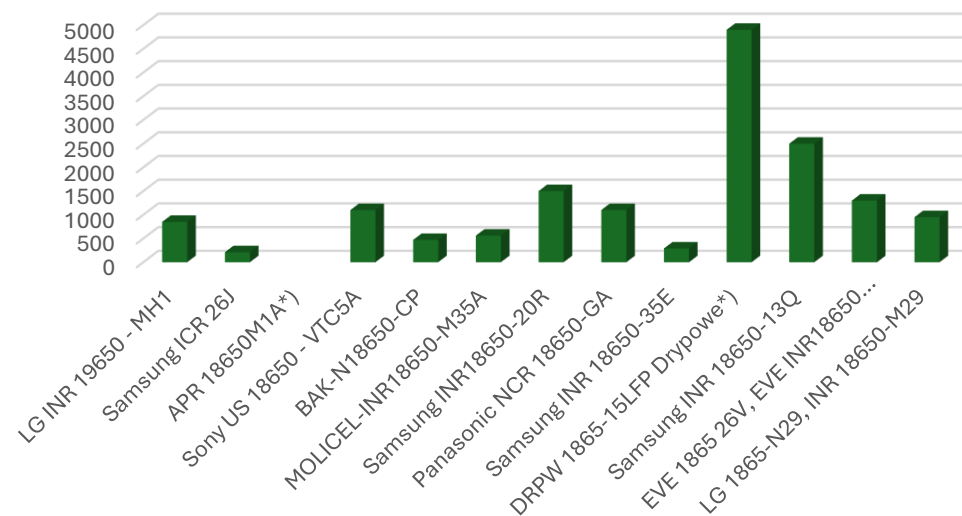
Naměřené hodnoty bóru (mg/kg) v popelu baterie



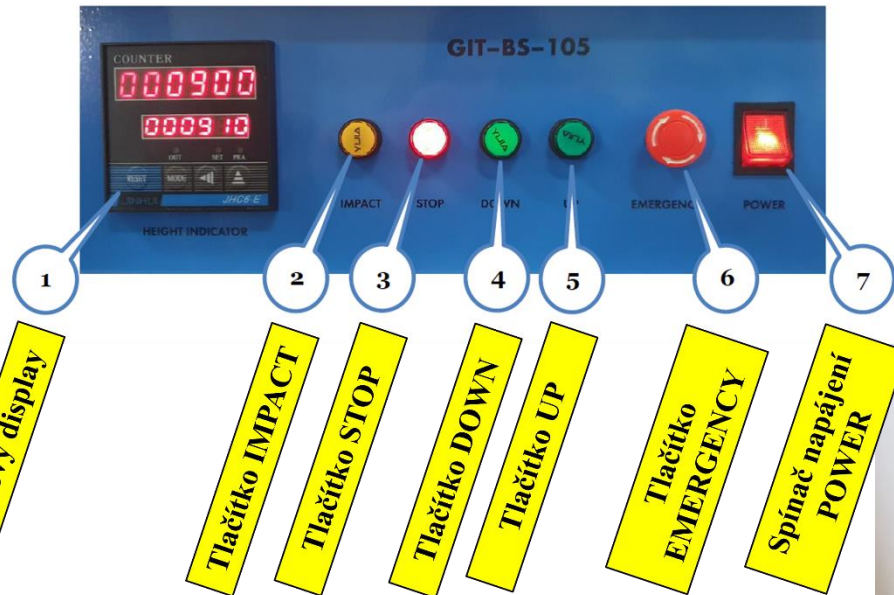
Naměřené hodnoty hliníku (mg/kg) v popelu baterie



Naměřené hodnoty fosforu (mg/kg) v popelu baterie



T.6 náraz, rozdrvení

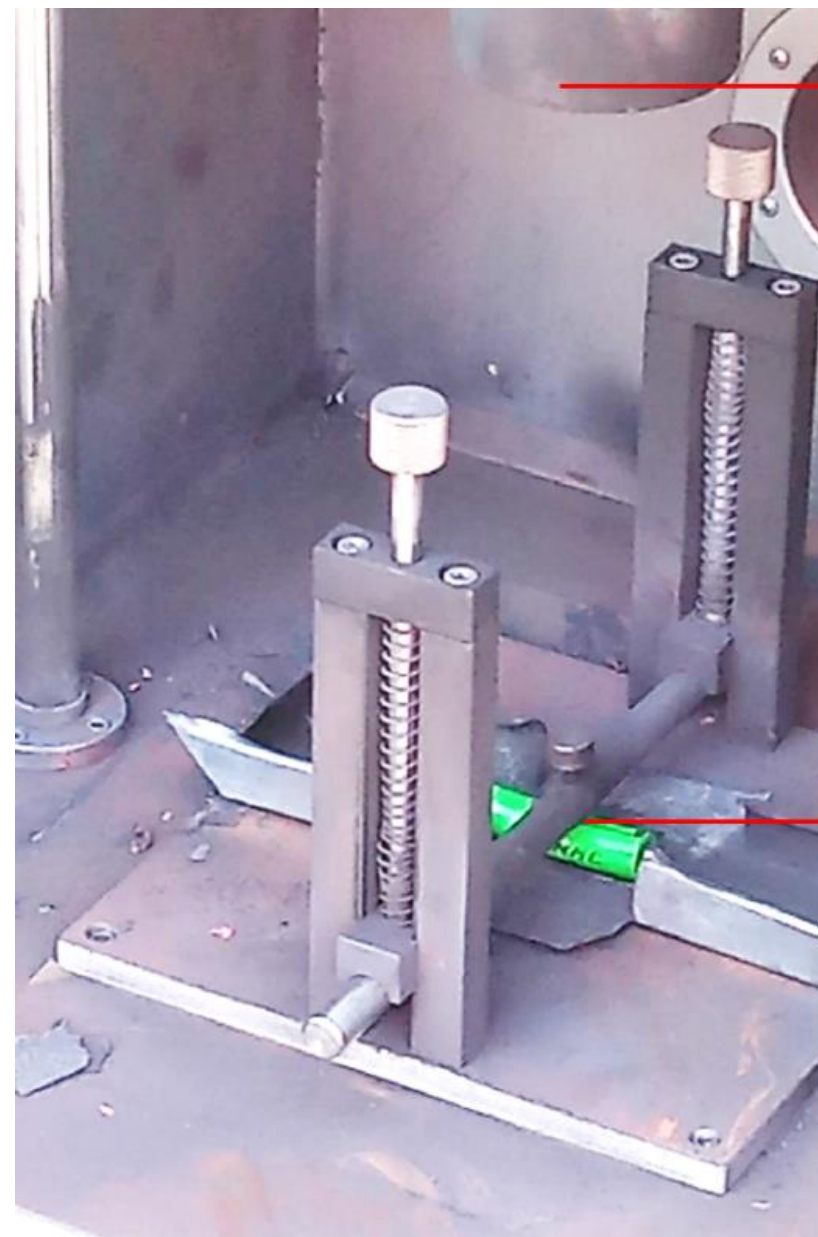




Odjištěno z aretace



Zajištěno aretací



Vzdálenost mezi válcem baterie a
závažím korespondující
s údajem na dotykovém display.



A high-temperature industrial welding process is shown, with bright orange and yellow sparks flying from the point of contact. The scene is framed by dark metal structures, likely part of a welding rig or furnace. The word "VIDEO" is overlaid in large, bold, blue capital letters with a yellow outline and a purple drop shadow, centered horizontally across the middle of the image.

VIDEO